Date: 03/08/2011 Page: 1/9 Responsable: Sébastien FAYOLLE Clé: V3.03.133 Révision: 6802

SSLS133 - Plaque en flexion à épaisseur variable

Résumé:

Ce test représente un calcul quasi-statique d'une plaque en flexion à épaisseur variable. Elle est encastrée à une extrémité, et soumise à une force verticale à l'autre extrémité. Ce test permet de tester les éléments de coque volumique SHB8 et SHB20 à gérer les variations d'épaisseurs. Quatre modélisations sont testées :

Les éléments finis SHB8 pour une variation linéaire de l'épaisseur de la plaque (modélisation A). Les éléments finis SHB20 pour une variation linéaire de l'épaisseur de la plaque (modélisation B). Les éléments finis SHB8 pour une variation quadratique de l'épaisseur de la plaque (modélisation C). Les éléments finis SHB20 pour une variation quadratique de l'épaisseur de la plaque (modélisation D).

Les déplacements obtenus sont comparés à la solution analytique élastique d'une poutre en flexion. Ce test permet de montrer les capacités et les limites des éléments SHB8 et SHB20 à gérer les variations d'épaisseurs.

Date: 03/08/2011 Page: 2/9 Responsable: Sébastien FAYOLLE Clé: V3.03.133 Révision: 6802

Problème de référence

1.1 Géométrie

1.1.1 Plaque à épaisseur variant linéairement

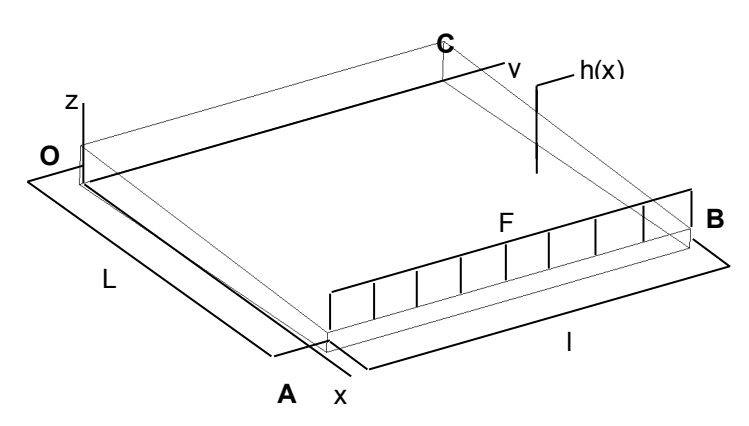


Figure 1.1.1-1:

Longueur L=100 m, largeur l=100 m.

L'épaisseur h varie linéairement :

$$h(x) = ax + b$$

Nous posons h(x=0)=hI=10m et h(x=L)=h2=5m ce qui nous donne :

$$a = (h_2 - h_1)/L$$
 et $b = h_1$

1.1.2 Plaque à épaisseur variant quadratiquement

L'épaisseur h varie de manière quadratique :

$$h(x) = ax^2 + bx + c$$

h(x=0)=hI=10m, h(x=L)=h2=5m et $h(x=L/2)=h_{12}=6.25m$ ce Nous posons qui nous donne

$$a = (2(h_1 + h_2) - 4h_{12})/L^2$$
, $b = (4h_{12} - h_2 - 3h_1)/L$ et $c = h_1$

1.2 Propriétés de matériaux

 $E = 2.10^{11} Pa$ Module d'Young:

Coefficient de Poisson : v = 0.0

Date: 03/08/2011 Page: 3/9 Responsable: Sébastien FAYOLLE Clé: V3.03.133 Révision : 6802

1.3 **Conditions aux limites et chargements**

Conditions aux limites :

Encastrée sur le côté OC : u=v=w=0 , $\theta_x=\theta_v=\theta_z=0$

Chargement:

A l'extrémité AB , une charge uniformément répartie de résultante :

Force parallèle à l'axe Z ; $F_z = 1 N$

Date: 03/08/2011 Page: 4/9 Responsable: Sébastien FAYOLLE Clé: V3.03.133 Révision: 6802

Solution de référence 2

2.1 Méthode de calcul utilisée pour la solution de référence

Les résultats de référence sont obtenus par la théorie des poutres élastiques.

Dans le cas d'une variation linéaire de l'épaisseur, le déplacement vertical à l'extrémité est donné par [1]:

$$w(x) = -\frac{FL^{2}}{2EI_{y,c}c^{3}} \frac{\left(2Lcx + c^{2}x^{2} - c^{3}x^{2} + 2L(L + cx)\ln\left(\frac{L}{L + cx}\right)\right)}{(L + cx)}$$

Avec

$$c = \left(\frac{I_{y_2}}{I_{y_1}}\right)^{\frac{1}{3}} - 1$$
 et $I_{y_i} = \frac{bh_i^3}{12}$

Dans le cas d'une variation quadratique de l'épaisseur, il est possible de trouver une formule exacte du déplacement. Cependant son expression générale est suffisamment complexe pour ne pas pouvoir être écrite ici. Nous avons formulé la fonction approximative du déplacement vertical selon x de notre cas:

$$w(x) = 3.10^{-8} \frac{2x - 200}{x^2 - 200 x + 20000} + 6.10^{-10} \arctan(0.01 x - 1) - 3.10^{-12} x + 7.71238.10^{-10} m$$

2.2 Grandeurs et résultats de référence

Déplacement des points A et B suivant Z .

2.3 Références bibliographiques

[1] [V3.01.400] SSLL400 – Poutre de section variable, soumise à des efforts ponctuels ou répartis.

Date: 03/08/2011 Page: 5/9 Responsable: Sébastien FAYOLLE Clé: V3.03.133 Révision: 6802

Modélisation A

3.1 Caractéristiques de la modélisation

Élément SHB8 et épaisseur variant linéairement

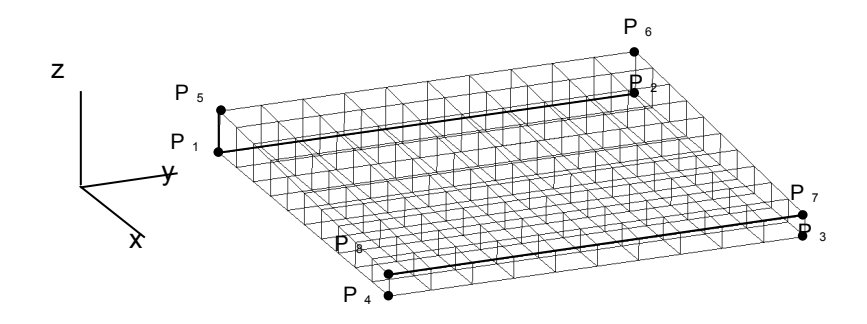


Figure 3.1-1 : Maillage de la modélisation A

Découpage : un maillage régulier est considéré dans cette modélisation.

Maillage régulier :

100 mailles SHB8: 10 selon la largeur, 10 selon la longueur, 1 selon l'épaisseur

Conditions aux limites :

Tous les nœuds à l'intérieur du côté $P_1P_2P_6P_5$: déplacement bloqué suivant X

Tous les nœuds sur l'arête P_1P_5 : déplacement bloqué suivant Y Tous les nœuds sur l'arête P_2P_1 : déplacement bloqué suivant z

Chargement:

Force linéairement répartie sur l'arête P_8P_7 : F = 1

Nom des nœuds :

| Point P₁ | N022 | Point P₅ | N020 |
|----------------------|------|----------------------|------|
| Point P ₂ | N002 | Point P ₆ | N001 |
| Point P₃ | N102 | Point P ₇ | N100 |
| Point P₄ | N172 | Point P ₈ | N171 |

3.2 Caractéristiques du maillage

Nombre de nœuds : 242 Nombre de mailles et types : 100 SHB8

3.3 Grandeurs testées et résultats

Maillage régulier :

| Point | Grandeur en unité | | Aster | % différence |
|-----------|-------------------|---------------------------|--------------------------|--------------|
| P_7 | déplacement W (m |)3.2710 10 ⁻¹⁰ | 3.2711 10 ⁻¹⁰ | +0.004 |
| P_8 | déplacement W (m |)3.2710 10 ⁻¹⁰ | 3.2711 10 ⁻¹⁰ | +0.004 |

Date: 03/08/2011 Page: 6/9 Responsable: Sébastien FAYOLLE Clé: V3.03.133 Révision: 6802

Modélisation B 4

4.1 Caractéristiques de la modélisation

Élément SHB20 et épaisseur variant linéairement

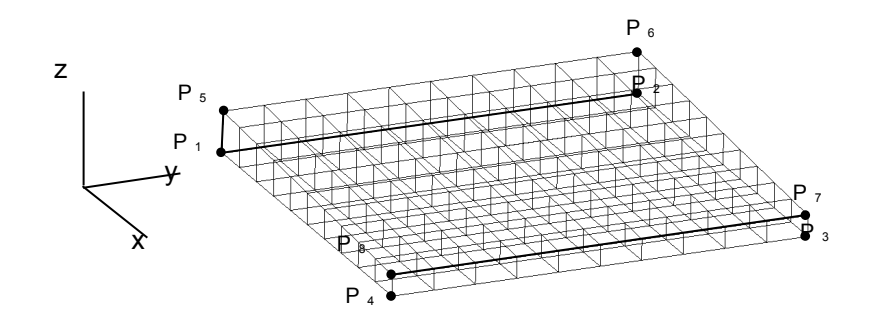


Figure 4.1-1 : Maillage de la modélisation B

Découpage : un maillage régulier est considéré dans cette modélisation.

Maillage régulier :

100 mailles SHB20: 10 selon la largeur, 10 selon la longueur, 1 selon l'épaisseur

Conditions aux limites :

Tous les nœuds à l'intérieur du côté $P_1P_2P_6P_5$: déplacement bloqué suivant \times

Tous les nœuds sur l'arête P_1P_5 : déplacement bloqué suivant \mathbf{Y} Tous les nœuds sur l'arête P_2P_1 : déplacement bloqué suivant z

Chargement:

Force linéairement répartie sur l'arête P_8P_7 : F=1

Nom des nœuds:

| Point P₁ | N347 | Point P ₅ | N340 |
|----------------------|------|----------------------|------|
| Point P ₂ | N579 | Point P ₆ | N572 |
| Point P ₃ | N006 | Point P7 | N002 |
| Point P₄ | N074 | Point P. | N067 |

4.2 Caractéristiques du maillage

Nombre de nœuds: 803 Nombre de mailles et types : 100 SHB20

4.3 Grandeurs testées et résultats

Maillage régulier :

| | Point | Grandeur en unité | Référence | Aster | % différence |
|---|----------------|-------------------|---------------------------|--------------------------|--------------|
| - | P ₇ | déplacement W (m |)3.2710 10 ⁻¹⁰ | 3.2866 10 ⁻¹⁰ | +0.476 |
| | P_8 | déplacement W (m |)3.2710 10 ⁻¹⁰ | 3.2866 10 ⁻¹⁰ | +0.476 |

Modélisation C 5

Date: 03/08/2011 Page: 7/9 Responsable: Sébastien FAYOLLE Clé: V3.03.133 Révision: 6802

5.1 Caractéristiques de la modélisation

Élément SHB8 et épaisseur variant quadratiquement

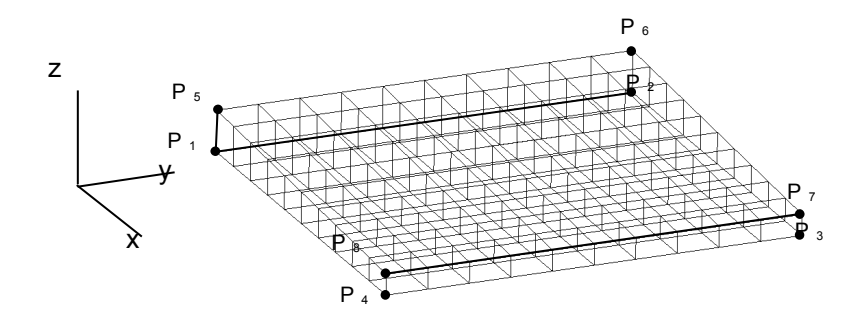


Figure 5.1-1 : Maillage de la modélisation C

Les caractéristiques sont les mêmes que pour la modélisation A

Nom des nœuds :

| Point P₁ | N005 | Point P₅ | N003 |
|----------------------|------|----------------------|------|
| Point P ₂ | N006 | Point P ₆ | N004 |
| Point P ₃ | N008 | Point P ₇ | N002 |
| Point P₄ | N007 | Point P ₈ | N001 |

5.2 Caractéristiques du maillage

Le maillage est le même que la modélisation A à l'exception de l'épaisseur qui varie ici de manière quadratique.

Grandeurs testées et résultats 5.3

Maillage régulier :

| | Point | Grandeur en unité | Référence | Aster | % différence | |
|---|----------------|-------------------|---------------------------|--------------------------|--------------|--|
| _ | P ₇ | déplacement W (m |)4.7124 10 ⁻¹⁰ | 5.1212 10 ⁻¹⁰ | +8.67 | |
| | P_8 | déplacement W (m |)4.7124 10 ⁻¹⁰ | 5.1212 10 ⁻¹⁰ | +8.67 | |

Date: 03/08/2011 Page: 8/9 Responsable : Sébastien FAYOLLE Clé: V3.03.133 Révision: 6802

Modélisation D 6

Caractéristiques de la modélisation 6.1

Élément SHB20 et épaisseur variant quadratiquement

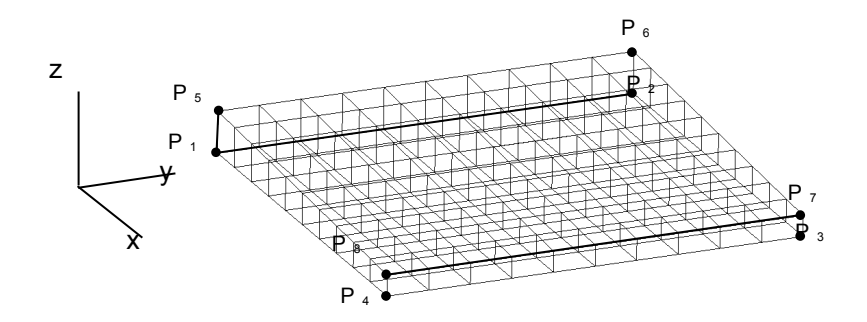


Figure 6.1-1 : Maillage de la modélisation D

Les caractéristiques sont les mêmes que pour la modélisation B

Nom des nœuds :

| Point P₁ | N005 | Point P₅ | N003 |
|----------------------|------|----------------------|------|
| Point P ₂ | N006 | Point P ₆ | N004 |
| Point P₃ | N008 | Point P ₇ | N002 |
| Point P₄ | N007 | Point P ₈ | N001 |

6.2 Caractéristiques du maillage

Le maillage est le même que la modélisation B à l'exception de l'épaisseur qui varie ici de manière quadratique.

6.3 Grandeurs testées et résultats

Maillage régulier :

| | Point | Grandeur en unité | Référence | Aster | % différence |
|---|----------------|-------------------|---------------------------|--------------------------|--------------|
| _ | P ₇ | déplacement W (m |)4.7124 10 ⁻¹⁰ | 4.6754 10 ⁻¹⁰ | -0.784 |
| | P_8 | déplacement W (m |)4.7124 10 ⁻¹⁰ | 4.6754 10 ⁻¹⁰ | -0.784 |

Responsable: Sébastien FAYOLLE

Date : 03/08/2011 Page : 9/9 Clé : V3.03.133 Révision : 6802

7 Synthèse des résultats

Dans le cas d'une variation linaire de l'épaisseur de la plaque, de bonnes solutions sont obtenues quelque soit l'élément fini utilisé (SHB8 ou SHB20).

Lorsque la variation géométrique est d'ordre quadratique, les éléments SHB20 fournissent des résultats plus précis (erreur <1%) que les éléments SHB8 (erreur <9%).